

پیش‌بینی دمای سطح آب خلیج فارس با استفاده از فرایندهای اتورگرسیو برداری

مرتضیه جهاندیده^{۱*} و امین شیروانی^۲

تاریخ دریافت: ۸۹/۶/۷ تاریخ پذیرش: ۱۲/۱۲/۸۹

چکیده

در این مطالعه مدل‌های سری‌های زمانی چند متغیره به عنوان مدل‌های تصادفی خطی برای پیش‌بینی میانگین ماهانه دمای سطح آب خلیج فارس استفاده شد. سری‌های زمانی داده‌های این دما برای شش گره دریایی برای دوره ۱۸۵۴-۲۰۰۷ به عنوان پرونده ورودی مدل‌های چند متغیره سری‌های زمانی در نظر گرفته شدند. فرایندهای اتورگرسیو برداری برای انجام سری‌های زمانی چند متغیره به کار برد شدند. نمودارهای خود همبستگی باقی‌مانده‌ها برای مدل‌های انتخاب شده بر اساس ملاک اطلاعات آکاییک نشان می‌دهند که باقی‌مانده‌ها ناهمبسته‌اند. مقادیر میانگین ماهانه دمای سطح آب خلیج فارس از ژانویه ۲۰۰۸ تا دسامبر ۲۰۰۹ به عنوان داده‌های آزمون با استفاده از مدل برازش داده شده پیش‌بینی شدند. نتایج نشان داد که ضریب همبستگی بین مقادیر مشاهده و پیش‌بینی شده برای هر گره در حدود ۹۹٪ می‌باشد. جذر میانگین توان دوم خطای پیش‌بینی برای هر گره کمتر از ۷٪ درجه سانتی گراد می‌باشد.

واژه‌های کلیدی : دمای سطح آب، سری‌های زمانی چند متغیره، فرایندهای اتورگرسیو برداری، پیش‌بینی، خلیج فارس.

۱- عضو هیئت علمی دانشگاه آزاد اسلامی، واحد مرودشت، گروه ریاضی

۲- بخش مهندسی آب، دانشکده کشاورزی، دانشگاه شیراز

* نویسنده مسؤول: tarannom10@yahoo.com

در صورت اطلاع از وضعیت دمای سطح آب از چند ماه قبل، فراسنجهای اقلیمی که بطور همزمان با این دما همبستگی معنی داری دارند قابل پیش‌بینی می‌باشند. یکی از این فراسنجهای بارش زمستانه مناطق جنوبی کشور است که همبستگی منفی و معنی داری با دمای سطح آب زمستانه خلیج فارس دارد (ناظم السادات، ۱۹۹۸؛ ناظم السادات و شیروانی، ۱۳۸۵). بنابراین پیش‌بینی دراز مدت دمای سطح آب بطور غیر مستقیم منجر به پیش‌بینی بارش زمستانه مناطق جنوبی کشور می‌شود.

پیش‌بینی شاخص نوسانهای جنوبی^۴ (SOI) با تاخیرهای یک تا سه ماهه با استفاده از مدل‌های سری‌های زمانی تک متغیره به وسیله چو و کاتز (۱۹۸۶) صورت گرفته است. بارنستون و راپلوسکی (۱۹۹۲) پیش‌بینی دمای سطح آب ناحیه مرکزی اقیانوس آرام را با استفاده از تحلیل مولفه‌های اصلی و تحلیل همبستگی متعارف مورد مطالعه قرار دادند. لاندمن و میسون (۲۰۰۱) پیش‌بینی دمای سطح آب تمامی گرههای دریایی را با کاربرد تحلیل همبستگی متعارف انجام دادند. در این مطالعه‌ها، پیش‌بینی‌ها برای دوره‌های کوتاه مدت ۲ و ۳ ماهه صورت گرفته است. پلنلند و ماگورین (۱۹۹۳) با استفاده از مدل معکوس خطی، دمای سطح آب را در ناحیه Niño3 پیش‌بینی کردند. تریپاتی و همکاران (۲۰۰۶) از شبکه‌های عصبی مصنوعی برای پیش‌بینی دمای سطح آب محدوده ۹۴ و ۱۰۴ درجه شرقی و ۲۷ و ۳۵ درجه جنوبی در دریای هند استفاده کردند.

به تازگی پیش‌بینی دمای سطح آب اقیانوس آرام با روش‌های شبکه‌های عصبی بیزی مورد مطالعه قرار گرفته است (مارتینز و سیه، ۲۰۰۹).

پیش‌بینی دمای سطح آب خلیج فارس کمتر مورد توجه محققین قرار گرفته است. ناظم السادات و شیروانی (۱۳۸۴) پیش‌بینی زمستانه دمای سطح آب خلیج فارس را مطالعه کرده، نشان دادند که در حدود ۳۳ درصد از پراکنده‌گی میانگین این دما به وسیله مدل ترکیبی تحلیل مولفه‌های اصلی و رگرسیون (وایازی) چندگانه قابل توجیه می‌باشد. اما در زمینه مدل بندی رفتار تصادفی این دما مطالعه‌ای در داخل و خارج کشور صورت نگرفته است. تاکنون منبعی که

مقدمه

دریا و اقیانوس از ظرفیت گرمایی بالایی برخوردار بوده، وضعیت گرمایی را در اقلیم جهانی اداره می‌کنند. بر هم‌کنش بین هوا و دریا عامل مهمی در اداره تغییرات فصلی و غیر فصلی در هر دو محیط می‌باشد. از طرفی شرایط جوی و تغییرات آن وابسته به شرایط دریا و اقیانوس و بویژه دمای سطح آب^۱ (SST) می‌باشد. بنابراین، هرگونه بحث یا بررسی در مورد وضعیت جوی نیاز به شناخت قبلی از وضعیت دمای سطح آب دارد.

تحقیقات انجام شده بیانگر آنند که نوسانهای این دما در صد قابل توجهی از پراکنده‌گی بارش را در مناطق مختلف جهان توجیه می‌نمایند (چو و هی، ۱۹۹۴؛ لاف، ۱۹۹۷؛ لاندمن و میسون، ۱۹۹۹؛ انانالای و همکاران، ۲۰۰۷). دمای سطح آب خلیج فارس هم از این قاعده پیروی کرده، یکی از عوامل موثر بر فراسنجهای اقلیمی از جمله دما و بارش در مناطق جنوبی کشور می‌باشد (ناظم السادات، ۱۹۹۸). نتایج مربوط به تحقیقهای صورت گرفته بیانگر آنند که اطلاع از وضعیت نوسانهای دمای سطح آب در پهنه آبهای خلیج فارس می‌تواند جهت پیش‌بینی‌های دراز مدت بارش، ارزیابی بارش و شناخت وضعیت منابع آب و فعالیتهای زیست محیطی در نواحی جنوبی کشور مورد استفاده قرار گیرد.

^۲ مدل‌های سری‌های زمانی از جمله مدل‌های تصادفی^۲ می‌باشند که در صورت وجود وابستگی^۳ در سری‌های زمانی داده‌ها، امکان پیش‌بینی برای آینده را میسر می‌سازند. به دلیل آن که افزایش یا کاهش دمای سطح آب تدریجی است، خود همبستگی معنی داری در تاخیرهای مختلف سری‌های زمانی این داده‌ها وجود دارد. از این رو تحلیل سری‌های SST زمانی روشنی مناسب برای شبیه سازی داده‌های می‌باشد. از طرفی با توجه به وجود همبستگی قوی و معنی داری که بین دمای سطح آب گرههای مجاور وجود دارد، روش‌های چند متغیره سری‌های زمانی مناسب شبیه سازی می‌باشند.

¹-Sea Surface Temperature

²-Stochastic Models

³- Coherency

مواد و روشها

داده‌های میانگین ماهانه دمای سطح آب پهنه خلیج فارس در ناحیه بین حدود ۴۷ و ۵۷ درجه شرقی و ۲۴ و ۳۰ درجه شمالی برای گره‌هایی با ابعاد ۲ درجه طولی در ۲ درجه عرضی به عنوان پرونده ورودی مدل‌های چند متغیره سری‌های زمانی در نظر گرفته می‌شوند. شکل (۱) موقعیت شش گره مورد مطالعه را نشان می‌دهد.

پیش‌بینی دمای سطح آب را بر اساس مدل‌های سری‌های زمانی انجام دهد، یافت نشده است. از ان جا که گره‌های دریایی با هم وابستگی بالایی دارند، برای پیش‌بینی دمای سطح آب هر گره علاوه بر اطلاعات گذشته آن گره، می‌توان از اطلاعات گذشته گره‌های دیگر نیز استفاده کرد. این امر تنها از طریق روش‌های چند متغیره امکان پذیر می‌باشد و روش‌های تک متغیره برای این منظور کارا نیستند. بر این اساس، هدف از تحقیق حاضر ارائه یک مدل چند متغیره تصادفی برای پیش‌بینی دمای سطح آب گره‌های خلیج فارس بطور همزمان از چند ماه قبل می‌باشد.



شکل ۱- گره‌های مورد مطالعه در پهنه خلیج فارس .

بطوری که A_i ها ماتریسهای ضرایب با $i = 1, \dots, p$ بعد $K \times K$ می‌باشند و \mathbf{u}_t بردار فرایند نویه سفید^۲ بعدی با ماتریس کواریانس مثبت زمان پایای $E(\mathbf{u}_t \mathbf{u}'_t)$ می‌باشد. ماتریس C یک ماتریس $K \times M$ بعدی از ضرایب رگرسورهای قطعی^۳ و D_t یک بردار ستونی در بردارنده رگرسورهای قطعی، همانند یک ثابت، روند یا متغیرهای ظاهری فصلی می‌باشد. در این تحقیق از نماد $VAR(p)$ برای فرایند معروف شده در رابطه (۱) استفاده می‌شود. یکی از مشخصه‌های اصلی یک فرایند اتورگرسیو برداری خاصیت پایداری^۴ آن می‌باشد. این بدان معنی است که این فرایند، سرهای زمانی مانا (ایستا) با میانگینها، واریانسها و کواریانسها زمان پایا با مقادیر اولیه مناسب تولید کند. در عمل، پایداری فرایندهای

طول و عرض گره‌ها در جدول ۲ آورده شده است. دوره آماری مورد مطالعه از ژانویه ۱۸۵۴ تا دسامبر ۲۰۰۹ می‌باشد. این داده‌ها براساس کارهای انجام گرفته به وسیله اسمیت و همکاران (۲۰۰۸) باز سازی شده‌اند و هم اکنون بطور رایگان از طریق پایگاه:

<http://www.esrl.noaa.gov/psd/data/gridded/d ata.noaa.ersst.html> در دسترس می‌باشد.

در این تحقیق، فرایندهای اتورگرسیو برداری برای انجام سری‌های زمانی چند متغیره بکار برده می‌شوند که در زیر شرح داده می‌شوند.

یک فرایند اتورگرسیو برداری^۱ (VAR) از K متغیر تصادفی $\mathbf{y}_t = (y_{1t}, \dots, y_{Kt}), k = 1, \dots, K$ تشکیل، و به صورت زیر تعریف می‌شود (پفاف، ۲۰۰۸):

$$\mathbf{y}_t = A_1 \mathbf{y}_{t-1} + \dots + A_p \mathbf{y}_{t-p} + C D_t + \mathbf{u}_t, \quad (1)$$

²- White noise

³- Deterministic Regressors

⁴- Stability Property

¹- Vector Auto Regressive

نرم افزار در پایگاه <http://www.r-project.org> موجود است).

نتایج و بحث

مقایسه مخصوصهای آماری گرههای مورد مطالعه در ماههای مختلف نشان داد که فوریه و اوت در تمامی گرهها به ترتیب سردرترین و گرمترین ماه های سال می‌باشند. برای مثال، میانگین، انحراف معیار و میانه دمای سطح آب فوریه برای گره دریابی به طول 50° و عرض 30° به ترتیب برابر با $18/51^{\circ}$ و $18/54^{\circ}$ درجه سانتی گراد می‌باشند. میانگین دمای سطح آب در این گره در ماه آگوست به بیشترین مقدار خود می‌رسد، بطوری که میانگین، انحراف معیار و میانه دما در این ماه به ترتیب برابر با $31/94^{\circ}$ ، $0/56^{\circ}$ و $31/94^{\circ}$ درجه سانتی گراد است.

در تمامی ماههای سال، میانگین دمای سطح آب از غرب به شرق و از شمال به جنوب افزایش می‌یابد، بطوری که این دما در تنگه هرمز به بیشترین مقدار خود می‌رسد، دلیل این امر آن است که منطقه مذبور به آبهای آزاد و اقیانوس نزدیکتر است.

میانگین دمای سطح آب برای شش گره دریابی مورد مطالعه بطور همزمان به عنوان یک بردار تصادفی شش بعدی وارد تجزیه و تحلیل سری‌های زمانی چند متغیره گردید. بنابراین، در رابطه (۱) داریم $K = 6$. میانگین ماهانه دمای سطح آب از ژانویه 1854° تا دسامبر 2007° برای برازش دادن مدل‌های سری‌های زمانی چند متغیره در نظر گرفته شد. نمودار تابع خودهمبستگی سری‌های زمانی دمای سطح آب برای گرهی به طول 50° و عرض 28° نشان می‌دهد که مقادیر خود همبستگی در همان تاخیرهای اولیه دارای کاهش سریعی می‌باشند که نشانگر این است که این سری فاقد روندی محسوس است، ولی یک دوره فصلی در این نمودار مشاهده می‌گردد، بطوری که مقادیر خود همبستگی در تاخیرهای زمانی مضارب ۱۲ بیشترین مقدار را دارد. بنابراین، مرتبه فصلی ۱۲ منظور می‌گردد. مدل‌های مناسب با استفاده از ملاکهای اطلاعات در رابطه‌های ۲ تا ۵ بطور جداگانه مشخص گردیدند، و مرتبه تاخیر در این روابط حداقل 24° در نظر گرفته شد. بر این اساس، ماتریس‌های

تجربی اتورگرسیو برداری با تحلیل مقادیر ویژه ماتریس ضرایب بررسی می‌شود (لوتکپول، ۲۰۰۶).

ضرایب یک فرایند اتورگرسیو برداری با کاربرد روش حداقل مربعات برآورد می‌شوند.

تعیین مرتبه تاخیر مناسب در یک فرایند $VAR(p)$ به وسیله ملاک‌های اطلاعات مانند آکایک^۱ (AIC)، هنان و کوین^۲ (HQ)، شوارز^۳ (SC) و خطای پیش‌بینی نهایی^۴ (FPE) صورت می‌گیرد و به ترتیب در رابطه‌های (۲) تا (۵) به صورت زیر تعریف می‌شوند (پفاف، ۲۰۰۸):

$$AIC(p) = \log(\det(\sum_{\mathbf{u}}(p))) + \frac{2}{T} pK^2, \quad (3)$$

$$HQ(p) = \log(\det(\sum_{\mathbf{u}}(p))) + \frac{2 \log(\log(T))}{T} pK^2, \quad (4)$$

$$SC(p) = \log(\det(\sum_{\mathbf{u}}(p))) + \frac{\log(T)}{T} pK^2, \quad (5)$$

$$HQ(p) = \left(\frac{T + p^*}{T - p^*} \right)^K \det(\sum_{\mathbf{u}}(p)),$$

بطوری که $\sum_{\mathbf{u}}(p) = T^{-1} \sum_{t=1}^T \hat{\mathbf{u}}_t \hat{\mathbf{u}}'_t$ و p^* به

ترتیب مرتبه تاخیر و تعداد کل فراسنجهای در هر معادله می‌باشند. برای اندازه نمونه‌های متوسط و بزرگ، دو معیار AIC و FPE مرتبه تاخیر مشابه را نتیجه می‌دهند (لوتکپول، ۲۰۰۶). در این تحقیق از هر چهار ملاک برای تعیین مدل مناسب استفاده شده، و بر اساس کمترین میزان خطای در نمونه آزمون، مرتبه تاخیر مناسب مشخص می‌گردد. آزمون ناهمبسته بودن باقیماندهای مدل‌های انتخاب شده به وسیله بررسی همبستگی پیاپی با استفاده از تابع خودهمبستگی انجام می‌گیرد. کلیه محاسبات آماری در محیط برنامه نویسی R انجام گرفت. R یک نرم افزار رایگان برای محاسبات آماری می‌باشد (اطلاعات بیشتر در مورد این

¹ -Akaike's Information Criterion

² - Hannan and Quinn

³ - Schwarz

⁴ -Final Prediction Error

مقادیر تا تاخیر شش ($p = 6$) در جدول (۱) آورده شده اند.

ضرایب (A_i ها) و ماتریس رگرسورهای قطعی (ماتریس C) معرفی شده در رابطه (۱) برآورد گردیدند. مقادیر محاسبه شده معیارهای اطلاعات تا تاخیر ۲۴ محاسبه گردید و این

جدول ۱ - ملاک اطلاعات محاسبه شده برای تاخیرهای مختلف.

ملاک					تاخیر(p)
AIC	HQ	Sc	FPE		
-۰۳۰۱۹	-۰۳۰۰۷	-۰۲۹۸۷	۷/۷۱۶۰	-۱۴	یک
-۰۳۰۲۱	-۰۳۰۰۶	-۰۲۹۷۷	۷/۶۱۷۶	-۱۴	دو
-۰۳۰۲۵	-۰۳۰۰۵	-۰۲۹۷۱	۷/۳۰۸۰	-۱۴	سه
-۰۳۰۲۶	-۰۳۰۰۲	-۰۲۹۶۱	۷/۲۴۴۰	-۱۴	چهار
-۰۳۰۲۴	-۰۲۹۹۶	-۰۲۹۴۸	۷/۳۴۰۰	-۱۴	پنج
-۰۳۰۲۴	-۰۲۹۹۲	-۰۲۹۳۸	۷/۳۲۶۰	-۱۴	شش

جدول ۲ - جذر میانگین توان دوم خطای پیش بینی برای مدل‌های منتخب.

مرتبه تاخیر	چهار	یک	گرهها
.۶۳۶۲	.۶۶۸۴	۳۰°	طول ۵۰° و عرض
.۶۳۸۵	.۶۷۶۹	۲۸°	طول ۵۰° و عرض
.۶۵۸۷	.۷۰۳۲	۲۸°	طول ۵۲° و عرض
.۶۳۵۸	.۶۹۴۷	۲۶°	طول ۵۲° و عرض
.۶۰۷۰	.۶۸۸۹	۲۶°	طول ۵۴° و عرض
.۵۵۷۸	.۶۵۴۰	۲۶°	طول ۵۶° و عرض

این نتایج نشان دادند که مقدار RMSPE مدل چند متغیره سری‌های زمانی با تاخیر چهار کمتر از تاخیر یک در تمامی گرهها می‌باشد، بنابراین، فرایندهای اتورگرسیو برداری با مرتبه تاخیر چهار مناسب مدل پیش بینی دمای سطح آب تشخیص داده شد.

این جدول نشان می‌دهد، که دو ملاک هنان و کوین و شوارز تاخیر یک را مناسب مدل چندمتغیره تشخیص می‌دهند در حالی که ملاک‌های اطلاعات آکاییک و خطای پیش بینی نهایی، مرتبه تاخیر چهار را پیشنهاد می‌کنند. بر این اساس، دو مدل چندمتغیره سری‌های زمانی با تاخیرهای یک و چهار به عنوان مدل‌های منتخب تشخیص داده شد و با استفاده از ماتریس‌های ضرایب و رگرسورهای قطعی برآورد گردید، پیش بینی میانگین دمای سطح آب شش گره موردن مطالعه برای تمامی ماههای سالهای ۲۰۰۸ و ۲۰۰۹ انجام شد.

این ۲۴ ماه پیاپی به عنوان نمونه آزمون منظور گردید، و مستقل از نمونه مورد استفاده در مدل‌های سری زمانی برآش داده شده می‌باشند. جذر میانگین توان دوم خطای پیش بینی^۱ (RMSPE) در مورد نمونه آزمون برای هر دو مدل محاسبه گردید و در جدول ۲ آورده شده است.

^۱- Root Mean Square Prediction Error

$$\hat{A}_4 = \begin{bmatrix} -0.61 & 0.98 & 0.09 & -0.50 & -0.01 & 0.11 \\ -0.72 & 1.12 & 0.09 & -0.54 & 0.01 & 0.09 \\ -0.80 & 1.19 & 0.09 & -0.60 & 0.13 & 0.05 \\ -0.82 & 1.21 & 0.05 & -0.61 & 0.17 & 0.04 \\ -0.73 & 1.13 & -0.05 & -0.60 & 0.27 & 0.03 \\ -0.57 & 0.96 & -0.15 & -0.53 & 0.28 & 0.07 \end{bmatrix}$$

برآورد ماتریس‌های ضرایب در رابطه (۱) برای این مدل نهایی به صورت زیر می‌باشد.

$$\hat{A}_1 = \begin{bmatrix} 1.70 & -1.32 & -0.18 & 0.60 & -0.08 & -0.16 \\ 1.04 & -0.67 & -0.16 & 0.66 & -0.20 & -0.09 \\ 1.07 & -1.43 & 0.49 & 0.86 & -0.41 & 0.01 \\ 0.97 & -1.3 & -0.09 & 1.43 & -0.44 & 0.08 \\ 0.82 & -1.15 & -0.13 & 0.68 & 0.27 & 0.12 \\ 0.62 & -0.94 & -0.01 & 0.62 & -0.60 & 0.95 \end{bmatrix}$$

برآورد ماتریس رگرسورهای قطعی نیز به صورت زیر است:

$$\hat{C} = \begin{bmatrix} -0.53 & 0.24 & 1.91 & 4.50 & 6.82 & 7.86 & 7.92 & 7.41 & 5.86 & 3.98 & 1.59 \\ -0.53 & 0.24 & 1.85 & 4.37 & 6.67 & 7.67 & 7.70 & 7.25 & 5.75 & 3.87 & 1.53 \\ -0.53 & 0.21 & 1.74 & 4.17 & 6.40 & 7.37 & 7.38 & 6.99 & 5.61 & 3.72 & 1.47 \\ -0.51 & 0.23 & 1.71 & 4.05 & 6.17 & 7.06 & 6.98 & 6.64 & 5.39 & 3.50 & 1.37 \\ -0.39 & 0.38 & 1.83 & 4.10 & 6.10 & 6.83 & 6.50 & 6.04 & 4.50 & 3.20 & 1.24 \\ -0.18 & 0.60 & 2.00 & 4.13 & 5.92 & 6.38 & 5.61 & 4.91 & 4.06 & 2.70 & 0.96 \end{bmatrix}$$

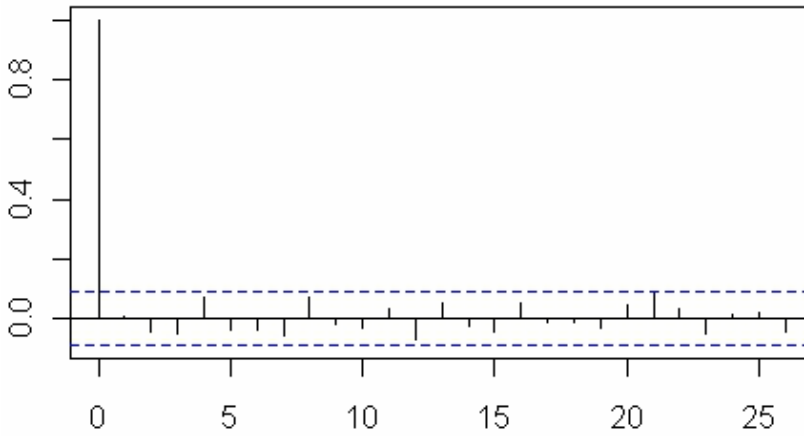
همچنین، برآورد ترانهاده بردار شش بعدی ثابت به صورت زیر می‌باشد.

$$constant = [7.59 \quad 7.41 \quad 7.16 \quad 6.75 \quad 6.05 \quad 5.26]'$$

نمودارهای تابع خود همبستگی برای باقی‌مانده‌های مدل برآورد شده در تمامی گره‌ها بررسی شد و نتایج نشان دادند که باقی‌مانده‌ها در تمامی گره‌ها ناهمبسته می‌باشند. برای مثال، نمودار تابع خود همبستگی در گره به طول 50° و عرض 28° در شکل ۲ رسم شده است.

$$\hat{A}_2 = \begin{bmatrix} -0.65 & 0.91 & 0.02 & -0.88 & 0.64 & -0.04 \\ -0.67 & 0.99 & 0.07 & -1.06 & 0.78 & -0.11 \\ -0.62 & 0.99 & 0.05 & -1.12 & 0.87 & -0.17 \\ -0.55 & 0.87 & 0.14 & -1.16 & 0.90 & -0.22 \\ -0.43 & 0.72 & 0.11 & -0.98 & 0.80 & -0.23 \\ -0.33 & 0.59 & 0.07 & -0.83 & 0.77 & -0.28 \end{bmatrix}$$

$$\hat{A}_3 = \begin{bmatrix} 0.38 & -0.76 & 0.14 & 0.74 & -0.70 & 0.24 \\ 0.51 & -0.97 & 0.13 & 0.86 & -0.72 & 0.27 \\ 0.75 & -0.13 & 0.12 & 1.04 & -0.81 & 0.30 \\ 0.78 & -1.40 & 0.14 & 0.99 & -0.70 & 0.29 \\ 0.72 & -1.28 & 0.13 & 0.81 & -0.53 & 0.24 \\ 0.59 & -1.11 & 0.15 & 0.69 & -0.47 & 0.24 \end{bmatrix}$$

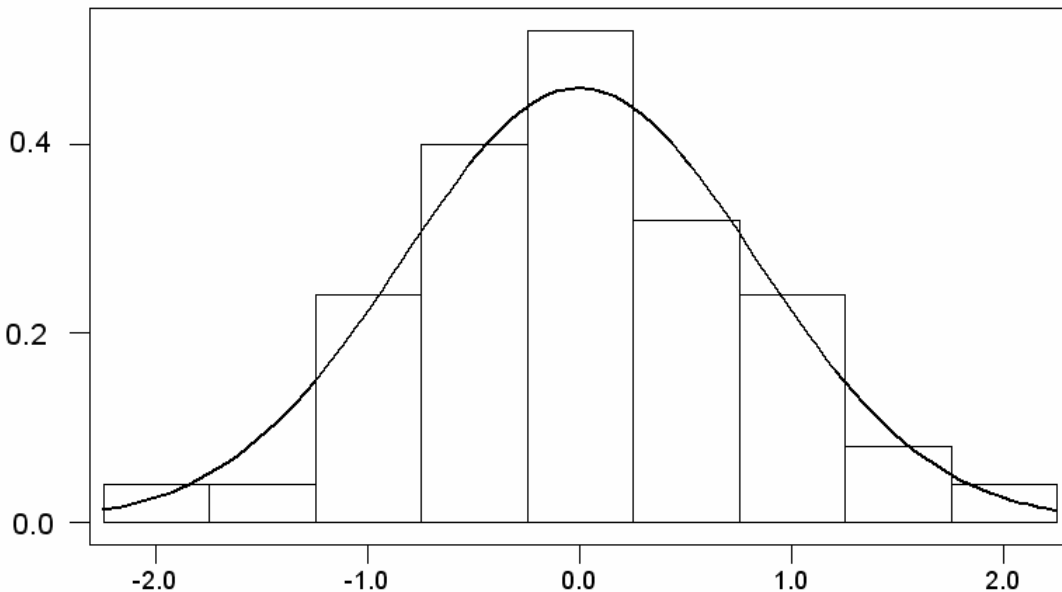


شکل ۲ - نمودار خود همبستگی برای باقی‌مانده‌های مدل برآورده شده گره به طول 50° و عرض 28° .

همبستگی نمونه‌ای اختلاف معنی داری با صفر در سطح 5% ندارند و فرض ناهمبسته بودن باقی‌مانده‌ها تایید می‌شود. شکل ۳ نمودار ستونی و منحنی نرمال باقی‌مانده‌ها برای گره به طول 50° و عرض 28° را نشان می‌دهد. همچنین، نمودار ستونی و منحنی نرمال برای باقی‌مانده‌های مدل در

این شکل نشان می‌دهد که باقی‌مانده‌ها ناهمبسته می‌باشند. خطوط خط چین در شکل ۲ محدوده $\pm 1.96/\sqrt{n}$ را نشان می‌دهند، مقادیر خود همبستگی نمونه‌ای در تاخیرهای مختلف (به جز تاخیر صفر) بین این دو محدوده واقع شده و نشان می‌دهند که مقادیر خود

بقیه گره‌ها نشان داد که آنها از توزیع نرمال تبعیت می‌کنند.
این امر با استفاده از آزمون کلموگروف اسمیرنوف نیز تایید شد.

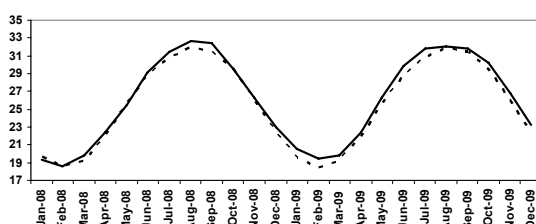


شکل ۳ - نمودار ستونی و منحنی نرمال مربوط به باقی‌مانده‌های مدل برآذش داده شده گره به طول 50° و عرض 28° .

پیش‌بینی شده نیز محاسبه شد. شکل ۴ سری‌های زمانی مشاهده شده و پیش‌بینی شده میانگین دمای سطح آب (مربوط به نمونه انتخاب شده برای آزمون) برای گره به طول 50° و عرض 28° را نشان می‌دهد.

میانگین دمای سطح آب برای ۲۴ ماه پیاپی از ژانویه ۲۰۰۸ تا دسامبر ۲۰۰۹ که در دوره آموزشی مدل چند متغیره منظور نگردید با استفاده از مدل برآذش داده شده پیش‌بینی گردید. یک فاصله اطمینان ۹۵٪ برای مقادیر

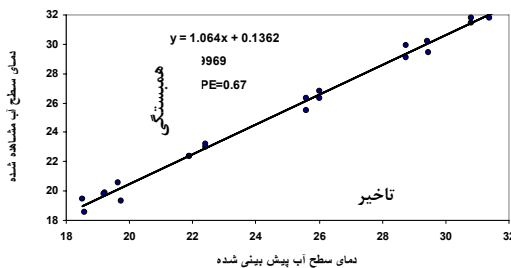
نمای سطح آب پیش‌بینی شده، — نمای سطح آب مشاهده شده



شکل ۴ - سری‌های زمانی مشاهده شده و پیش‌بینی شده دمای سطح آب گره به طول 50° و عرض 28° .

همانطور که در شکل ۴ دیده می‌شود مدل هر ۲۴ ماه را به خوبی پیش‌بینی کرده است.

شکل (۵) معادله رگرسیونی بین مقادیر مشاهده شده و پیش‌بینی شده دمای سطح آب این گره دریایی را نشان می‌دهد.



شکل ۵ - معادله رگرسیونی (وایازی) بین سری زمانی مشاهده شده و پیش‌بینی شده دمای سطح آب گره به طول 50° و عرض 28° .

این دما برای دوره ۱۸۵۴-۲۰۰۷ وارد تجزیه و تحلیل مدل‌های چند متغیره سری‌های زمانی شد. فرایندهای اتورگرسیو برداری برای انجام سری‌های زمانی چند متغیره به کار برده شدند. با استفاده از ملاک‌های اطلاعات آکاچیک، خطای پیش‌بینی نهایی، هنان و کوین و شوارز مرتبه تاخیر مشخص شد. بر این اساس، دو مدل چندمتغیره سری‌های زمانی با تاخیرهای یک و چهار به عنوان مدل‌های مناسب انتخاب شده، با استفاده از ماتریس‌های ضرایب و رگرسورهای قطعی برآورد شده، پیش‌بینی میانگین دمای سطح آب شش گره مورد مطالعه برای تمامی ماههای سال‌های ۲۰۰۸ و ۲۰۰۹ انجام گردید. مقدار جذر میانگین دوم خطای پیش برای مدل چند متغیره با تاخیر چهار کمتر از تاخیر یک بود. بر این اساس، مدل سری زمانی چند متغیره با مرتبه تاخیر چهار به عنوان مدل نهایی انتخاب شد. نتایج نشان داد که ضریب همبستگی بین مقادیر مشاهده و پیش‌بینی شده برای هر گره در حدود ۰.۹۹ بوده، جذر میانگین توان دوم خطای پیش-بینی برای هر گره کمتر از 7° درجه سانتی گراد می باشد. بنابراین با استفاده از مدل سری‌های زمانی چند متغیره برآش داده شده، می توان تا چندین ماه آینده از وضعیت دمای سطح آب در کل پهنه خلیج فارس اطلاع داشت، و از آن در پیش‌بینی بارندگی و دمای هوای مناطق تاثیر پذیر نیز استفاده کرد.

تقدیر و تشکر

بدین وسیله از شورای پژوهشی دانشگاه آزاد اسلامی واحد مرودشت به خاطر حمایت و پشتیبانی در انجام طرح تحقیقاتی "پیش‌بینی دمای سطح آب

این شکل دقیق مدل را به خوبی شرح می دهد، بطوری که ضریب همبستگی مقادیر مشاهده شده و پیش‌بینی شده سری زمانی برابر با 0.997 بود، که در سطح 0.1% از نظر آماری معنی دار می باشد. همچنین، جذر میانگین توان دوم خطای پیش‌بینی نیز برابر 0.67 درجه سانتی گراد می باشد. برای بقیه گره‌ها نیز ضریب همبستگی محاسبه شده بین مقدار پیش‌بینی شده و مشاهده بیشتر از 0.99 بوده، بیشترین جذر میانگین توان دوم خطای پیش‌بینی برابر 0.7° درجه سانتی گراد مربوط به گره به طول 52° و عرض 26° بود.

بنابراین مدل برآش داده شده اتورگرسیو برداری میانگین دمای سطح آب را در پهنه خلیج فارس با دقت بالایی پیش‌بینی می کند.

در حال حاضر، داده‌های دمای سطح آب خلیج فارس به عنوان یکی از ورودی‌های مدل‌های هواشناسی سازمان هواشناسی کشور مورد استفاده قرار می گیرند. بنابراین، پیش‌بینی‌های عددی این تحقیق می توانند به عنوان پرونده ورودی مدل‌های هواشناسی کشور در نظر گرفته شود.

نتیجه گیری

داده‌های میانگین دمای سطح آب خلیج فارس برای شش گره دریایی خلیج فارس که مطابق با استاندارد سازمان NOAA^{۱۶} می باشد از پایگاه اطلاعاتی این سازمان برای دوره زمانی ژانویه ۱۸۵۴ تا دسامبر ۲۰۰۹ استخراج گردید. سری زمانی داده‌های

- 10- Lough, J. M. 1997. Regional indices of climate variation: temperature and rainfall in Queensland Australia. *Internat. J. Climatol.* 17: 55-66.
- 11- Martinez, S. A., and W. W. Hsieh. 2009. Forecasts of tropical Pacific sea surface temperatures by neural networks and support vector regression. *Internat. J. Ocean.* 2009: 1-13.
- 12- Nazemosadat, M. J. 1998. The Persian Gulf sea surface temperature as a drought diagnostic for southern parts of Iran. *Drought News Network.* 10: 12-14.
- 13- Penland, C., and P. Magorain. 1993. Prediction of *Niño 3* sea surface temperature using linear inverse modeling. *Am. Meteorol. Soc.* 6: 1067-1076.
- 14- Pfaff, B. 2008. *Analysis of Integrated Series with Rand Cointegrated Time.* Second Edition. Springer, New York.
- 15- Smith, T. M., R. W. Reynolds, C. T. C. Peterson, and J. Lawrimore. 2008. Improvements to NOAA's Historical Merged Land-Ocean Surface Temperature Analysis (1880-2006). *J. Climate.* 21: 2283-2296.
- 16- Tripathi, K. C., I. M. L. Das, and A. Sahai. 2006. Predictability of sea surface temperature anomalies in the Indian Ocean using artificial neural networks. *Indian J. Marine Sci.* 35(3): 210-220.

خليج فارس با استفاده از مدل‌های چند متغیره سری های زمانی" که اين مقاله از آن استخراج شده است، تقدير و تشکرمي شود.

منابع

- ۱ - ناظم السادات، س. م. ج. و ا. شیروانی. ۱۳۸۴. پیش‌بینی دمای سطح آب خلیج فارس با استفاده از رگرسیون چند گانه و تحلیل مولفه‌های اصلی. *مجله علوم کشاورزی و منابع طبیعی*، ۹(۳) : ۱۱-۱.
- ۲ - ناظم السادات، س. م. ج. و ا. شیروانی. ۱۳۸۵. پیش‌بینی بارش بارش مناطق جنوبی ایران با استفاده از دمای سطح آب خلیج فارس: مدل سازی تحلیل همبستگی متعارف. *مجله علمی کشاورزی*. ۲۹(۹) : ۶۷-۷۷
- ۳- Annamalai, H., K. Hamilton, and K. R. Sperber. 2007. South Asian summer monsoon and its relationship with ENSO in the IPCC AR4 simulations. *J. Climate.* 20: 1071–1092.
- 4- Barnston, A. G., and C. F. Ropelewski. 1992. Prediction of ENSO episodes using canonical correlation analysis. *J. Climate.* 5: 1316-1345.
- 5- Chu, P., and R. W. Kats. 1986. Measures of predictability with applications to the Southern oscillation. *Month. Weather Review.* 115(8): 1542–1549.
- 6- Chu, P., and Y. He. 1994. Long-Range prediction of Hawaiian winter rainfall using canonical correlation analysis. *Internat. J. Climatol.* 14: 659-669.
- 7- Landman, W. A., and S. J. Mason. 2001. Forecasts of near-global sea surface temperature using canonical correlation analysis. *Am. Meteorol. Soc.* 15: 3819-3833.
- 8- Landman, W. A. and S. J. Mason. 1999. Operational long-lead prediction of South African rainfall, using canonical correlation analysis. *Internat. J. Climatol.* 19: 1073-1090.
- 9- Lutkepohl, H. 2006. *New Introduction to Multiple Time Series Analysis*. Springer, New York.

